



# Radar penetranti

**Massimiliano Pieraccini**



SPR (Surface Penetrating Radar)

GPR (Ground Penetrating Radar)

GeoRADAR




I radar penetranti impiegano onde e.m.  
per sondare  
materiali dielettrici fortemente attenuanti (lossy)

Frequenze impiegate: 1 MHz – 2GHz

# Radar penetranti

Accessibilità solo da un lato

TX RX



A diagram showing a monostatic radar configuration. Above a large white rectangle with a brown border, there are two small black-outlined rectangles. The left one is labeled 'TX' and the right one is labeled 'RX'.

Configurazione monostatica

TX RX



A diagram showing a bistatic radar configuration. Above a large white rectangle with a brown border, there are two small black-outlined rectangles. The left one is labeled 'TX' and the right one is labeled 'RX'.

Configurazione bistatica

# Equazioni di Maxwell

$$\nabla \times \underline{E} = -\frac{\partial \underline{B}}{\partial t}$$

$$\nabla \times \underline{B} = \mu \underline{J} + \varepsilon_0 \mu \frac{\partial \underline{E}}{\partial t}$$

$$\nabla \cdot \underline{E} = \frac{\rho}{\varepsilon}$$

$$\nabla \cdot \underline{B} = 0$$

$$\nabla \times \nabla \times \underline{E} = -\frac{\partial}{\partial t}(\nabla \times \underline{B})$$

$$\nabla \times \nabla \times \underline{E} = -\frac{\partial}{\partial t} \left( \mu \underline{J} + \varepsilon_0 \mu \frac{\partial \underline{E}}{\partial t} \right)$$

$$\nabla \times \nabla \times \underline{E} + \varepsilon_0 \mu \frac{\partial^2 \underline{E}}{\partial t^2} + \mu \frac{\partial \underline{J}}{\partial t} = 0$$

**Equazione d'onda**

**Corrente nel mezzo**

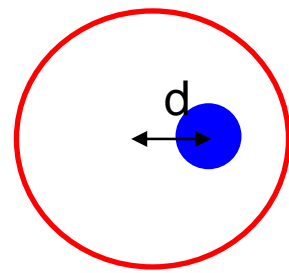
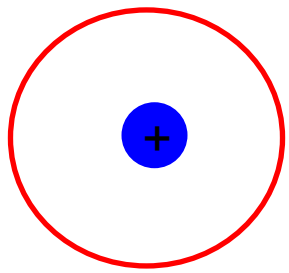
$$J = J_{free} + J_{pol}$$

Correnti ohmiche

$$J_{free} = \sigma' E$$



$$J = J_{free} + J_{pol}$$



$$D = qd$$

$$\frac{\partial D}{\partial t} = q \frac{\partial d}{\partial t} = qv = J_{pol}$$



$$D = \chi' E$$

$$J_{pol} = \frac{\partial D}{\partial t} = \chi' \frac{\partial E}{\partial t}$$



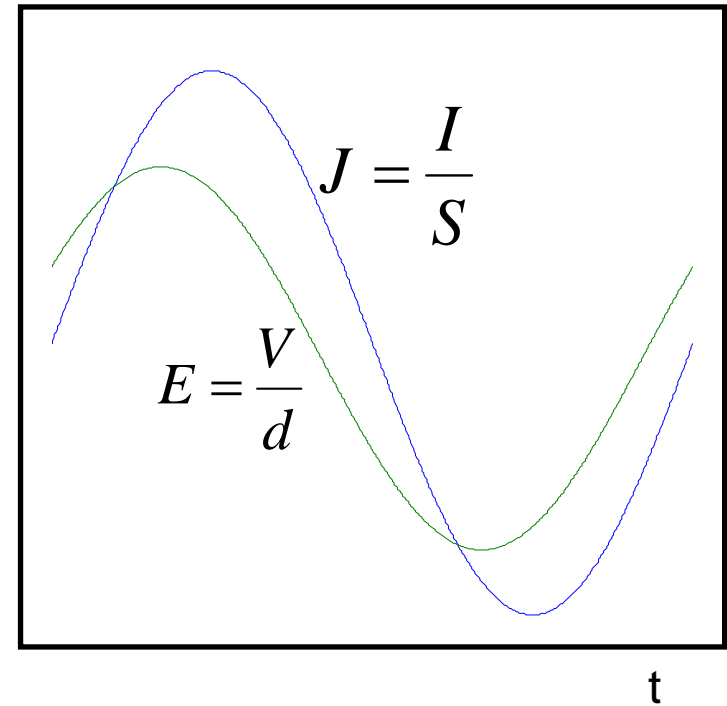
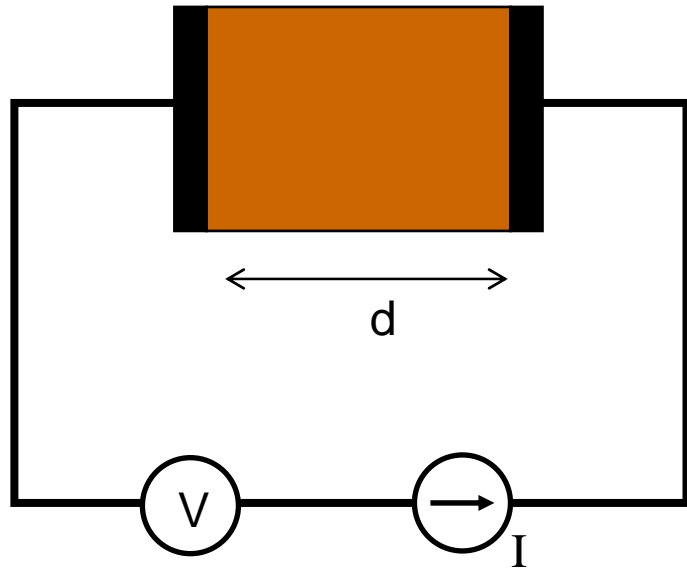
$$J = J_{free} + J_{pol} = \sigma' E + \chi' \frac{\partial E}{\partial t}$$

Per una sinusoide:

$$J = \sigma' E + \chi' j\omega E = \sigma E$$

compleso





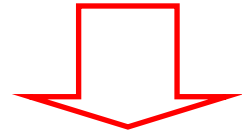
$$J = \sigma E \quad \sigma = \sigma' - j\sigma''$$

Definiamo:

$$\chi = \frac{\sigma}{j\omega\epsilon_0} \longrightarrow J = \sigma E = j\omega\epsilon_0\chi E = \epsilon_0\chi \frac{\partial E}{\partial t}$$

# Equazioni di Maxwell

$$\nabla \times \nabla \times \underline{E} + \varepsilon_0 \mu \frac{\partial^2 \underline{E}}{\partial t^2} + \mu \frac{\partial \underline{J}}{\partial t} = 0 \quad J = \varepsilon_0 \chi \frac{\partial E}{\partial t}$$


$$\varepsilon = \varepsilon_0 (1 + \chi)$$

$$\nabla \times \nabla \times \underline{E} + \mu \varepsilon \frac{\partial^2 \underline{E}}{\partial t^2} = 0$$

$$\varepsilon = \varepsilon_0 (1 + \chi) = \varepsilon_0 \left( 1 + \frac{\sigma}{j\omega \varepsilon_0} \right) = \varepsilon_0 + \frac{\sigma' + j\sigma''}{j\omega} = \left( \varepsilon_0 + \frac{\sigma''}{\omega} \right) - j \left( \frac{\sigma'}{\omega} \right)$$

$$\varepsilon = \varepsilon' - j\varepsilon''$$

$$\varepsilon' = \varepsilon_0 + \frac{\sigma''}{\omega}$$

$$\varepsilon'' = \frac{\sigma'}{\omega}$$

# Equazioni di Maxwell

$$\nabla \times \nabla \times \underline{E} + \varepsilon\mu \frac{\partial^2 \underline{E}}{\partial t^2} = 0$$

$$\frac{\partial^2 E}{\partial x^2} + \varepsilon\mu \frac{\partial^2 E}{\partial t^2} = 0$$

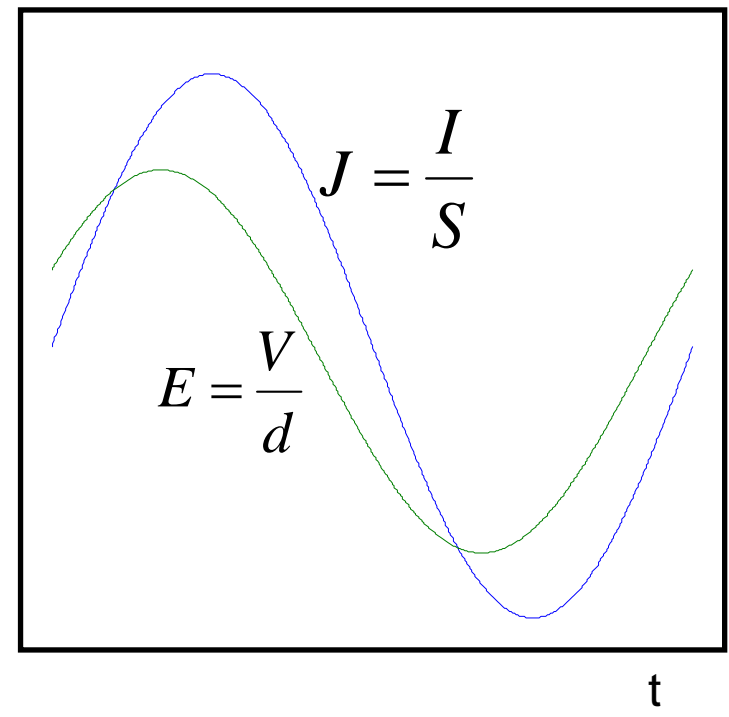
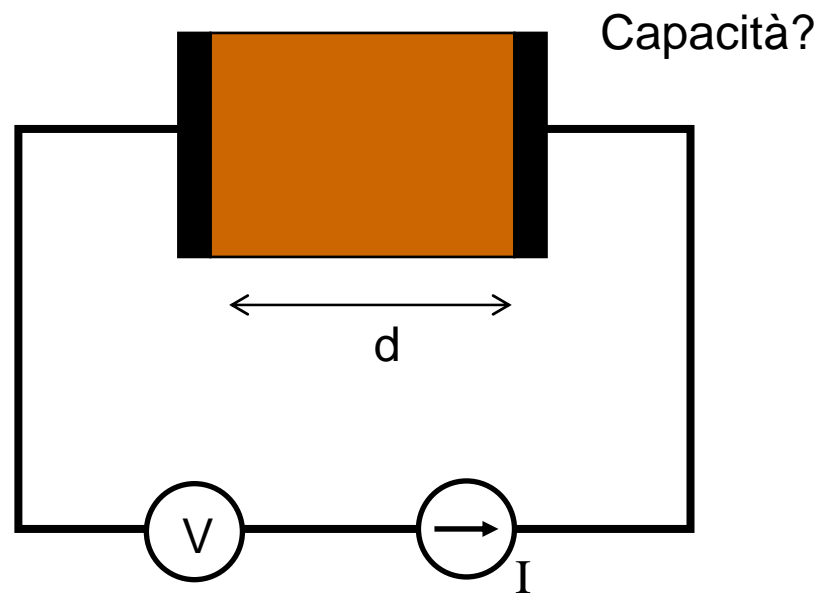
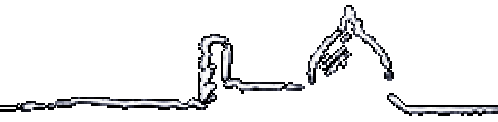
$$E(x, t) = E(x) e^{j\omega t}$$

$$\frac{\partial^2 E(x)}{\partial x^2} e^{j\omega t} + \varepsilon\mu (j\omega)^2 E(x) e^{j\omega t} = 0$$

$$\frac{\partial^2 E(x)}{\partial x^2} - \varepsilon\mu \omega^2 E(x) = 0 \quad k = \omega \sqrt{\mu\varepsilon}$$

$$\frac{\partial^2 E(x)}{\partial x^2} - k^2 E(x) = 0 \quad \longrightarrow \quad E(x) = E_0 e^{\pm jkx} \quad \longrightarrow \quad E(x) = E_0 e^{-jkx}$$

$$E(x, t) = E_0 e^{j(\omega t - kx)}$$



$$J = \sigma E$$

Conducibilità complessa  $\sigma = \sigma' - j\sigma''$

Permittività complessa  $\varepsilon = \varepsilon' - j\varepsilon''$

$$\begin{aligned} \varepsilon' &= \varepsilon_0 + \frac{\sigma''}{\omega} \\ \varepsilon'' &= \frac{\sigma'}{\omega} \end{aligned}$$

## Onda e.m. in un mezzo dispersivo

$$E(x, t) = E_0 e^{j(\omega t - kx)} \quad k = \omega \sqrt{\mu(\varepsilon' - j\varepsilon'')}$$

$$jk = \alpha + j\beta \quad E(x, t) = E_0 e^{j(\omega t - \beta x)} e^{-\alpha x}$$

$$\frac{\varepsilon''}{\varepsilon'} = \gamma$$

$$\beta = \omega \left[ \frac{\mu \varepsilon'}{2} \left( \sqrt{1 + \gamma^2} + 1 \right) \right]^{\frac{1}{2}}$$

$$\alpha = \omega \left[ \frac{\mu \varepsilon'}{2} \left( \sqrt{1 + \gamma^2} - 1 \right) \right]^{\frac{1}{2}}$$

# Onda e.m. in un mezzo dispersivo

$$e^{-j\beta x}$$

$$\gamma = \frac{\varepsilon''}{\varepsilon'} \ll 1$$

$$\beta = \omega \left[ \frac{\mu \varepsilon'}{2} \left( \sqrt{1 + \gamma^2} + 1 \right) \right]^{\frac{1}{2}} = \omega \left[ \frac{\mu \varepsilon'}{2} 2 \right]^{\frac{1}{2}} = \omega \sqrt{\mu \varepsilon'}$$

$$\varepsilon_r = \frac{\varepsilon'}{\varepsilon_0}$$

$$c = \frac{1}{\sqrt{\mu \varepsilon_0}}$$

$$\beta = \omega \frac{\sqrt{\varepsilon_r}}{c} = \frac{\omega}{v}$$

$$v = \frac{c}{\sqrt{\varepsilon_r}}$$

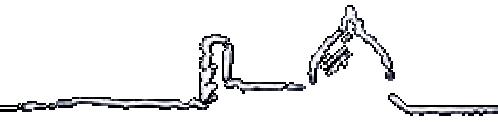
# Onda e.m. in un mezzo dispersivo

$$e^{-\alpha x}$$

$$\gamma = \frac{\varepsilon''}{\varepsilon'} \ll 1$$

$$\alpha = \omega \left[ \frac{\mu \varepsilon'}{2} \left( \sqrt{1 + \gamma^2} - 1 \right) \right]^{\frac{1}{2}} = \omega \frac{\sqrt{\mu \varepsilon'}}{\sqrt{2}} \left( 1 + \frac{1}{2} \gamma^2 - 1 \right)^{\frac{1}{2}} = \frac{\omega \sqrt{\mu \varepsilon'}}{2} \gamma$$

$$\alpha = \frac{\omega}{2v} \gamma$$



$$E(x, t) = E_0 e^{j\omega\left(t - \frac{1}{v}x\right)} e^{-\frac{\omega\gamma}{2v}x} \quad v = \frac{c}{\sqrt{\epsilon_r}} \quad \gamma = \frac{\epsilon''}{\epsilon'}$$



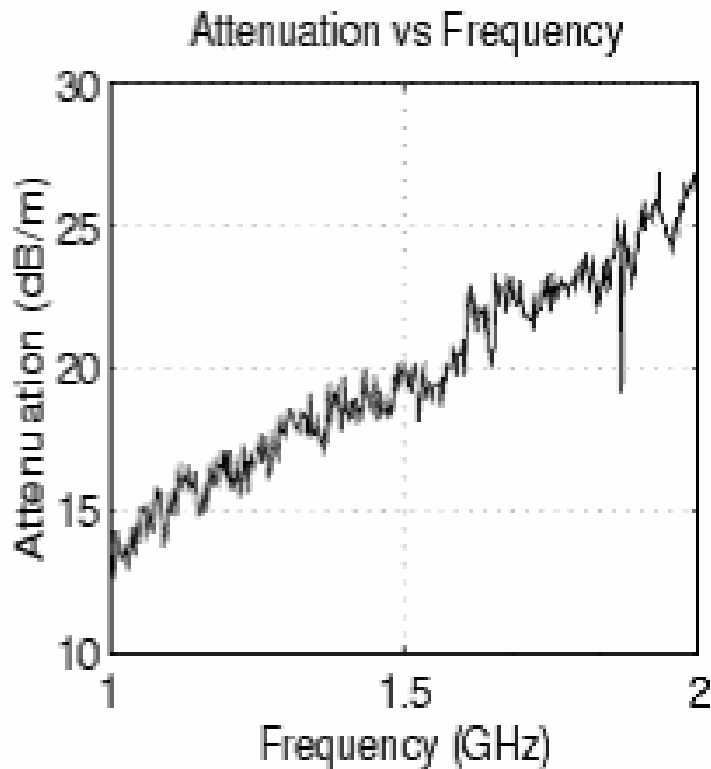
# La tangente di perdita

$$\gamma = \frac{\varepsilon''}{\varepsilon'} = \frac{\sigma'}{\omega \left( \varepsilon_0 + \frac{\sigma''}{\omega} \right)} \approx \frac{\sigma'}{\sigma''} = \tan \delta$$

$\omega \varepsilon_0 \ll \sigma''$

Costante  
**[100MHz-2GHz]**

$$\alpha = \frac{\omega \gamma}{2\nu} = \frac{\omega}{2\nu} \tan \delta$$

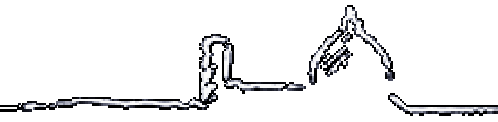


$$\alpha = \frac{\pi f}{\nu} \tan \delta$$

$$\tan \delta = \frac{1}{Q}$$

$$\alpha = \frac{\pi f}{Q\nu}$$

# Velocità di propagazione e attenuazione

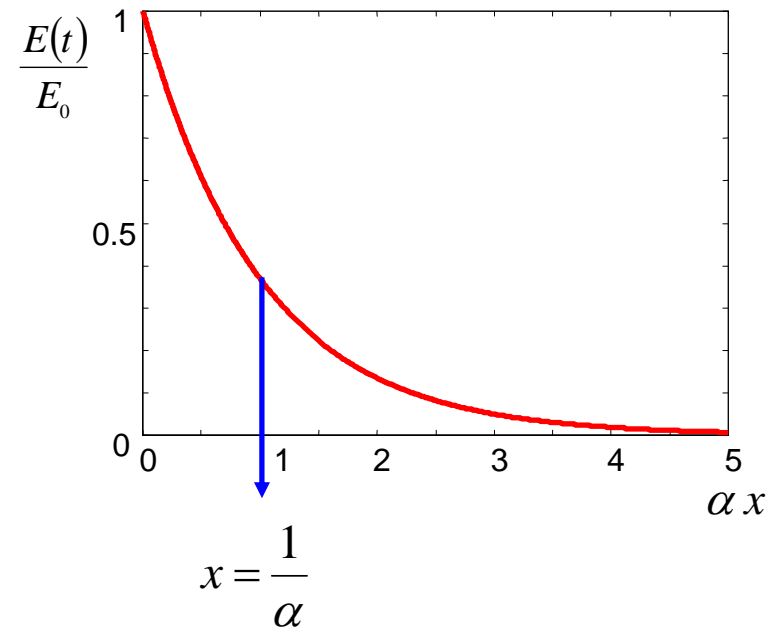


## Velocità di propagazione

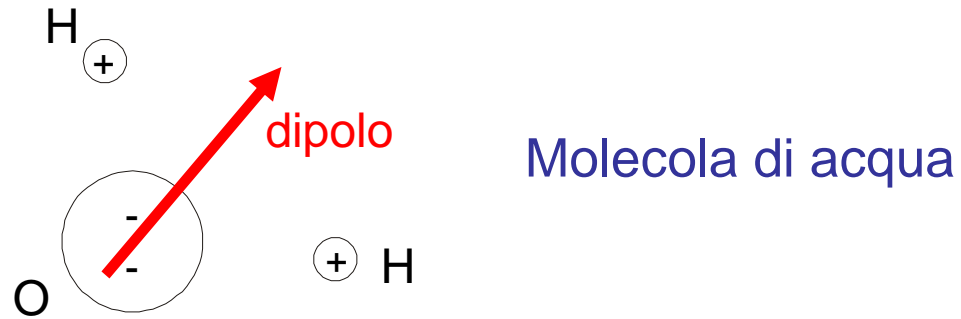
$$v = \frac{c}{\sqrt{\epsilon_r}} \quad \epsilon_r = \frac{\epsilon'}{\epsilon_0} \quad \epsilon_r > 1 \quad \longrightarrow \quad \text{Correnti di polarizzazione}$$

## Attenuazione

$$\alpha = \frac{\mu v \sigma'}{2} \quad \sigma' \quad \longrightarrow \quad \text{Correnti di conduzione}$$



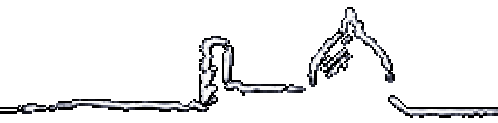
# Acqua



Elevata suscettività  $\longrightarrow \epsilon_r \cong 80$  Correnti di polarizzazione

Molecola polare  $\longrightarrow$  Dissolve ioni  $\longrightarrow \sigma$  Correnti di conduzione

# Materiali



	$\varepsilon_r$	$\sigma'$
		mS/m
acqua dolce	80	0.5
acqua di mare	80	3000
sabbia asciutta	3	0.01
sabbia bagnata (satura)	20-30	0.1-1
calcare	4-8	0.5-2
argilla	5-40	2-1000
granito	4-6	0.01-1
ghiaccio	3-4	0.01

$$\varepsilon_r = \frac{\varepsilon'}{\varepsilon_0}$$

$$\varepsilon' = \varepsilon_0 + \frac{\sigma''}{\omega}$$

$$\varepsilon'' = \frac{\sigma'}{\omega}$$

$$v = \frac{c}{\sqrt{\varepsilon_r(\omega)}}$$

## Impulso

$\Delta t$  = durata

$\omega_0$  = frequenza portante



## Banda

$$B \approx \frac{1}{\Delta t}$$

$\omega_0$  = frequenza portante

Componenti spettrali a frequenze diverse si propagano con velocità diversa



**L'impulso si allarga**

# Dispersione

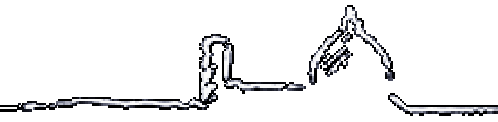
$$\delta t = \frac{L}{v_2} - \frac{L}{v_1} = \frac{L(v_1 - v_2)}{v_1 v_2} \approx -\frac{L \Delta v}{v^2}$$

$$v = \frac{c}{\sqrt{\epsilon_r}}$$

$$\Delta v = \frac{\partial v}{\partial \epsilon_r} \Delta \epsilon_r = c \left( -\frac{1}{2} \right) \epsilon_r^{-\frac{3}{2}} \Delta \epsilon = -\frac{c}{2} \frac{1}{\epsilon_r \sqrt{\epsilon_r}} \Delta \epsilon_r = -\frac{v}{2 \epsilon_r} \Delta \epsilon_r$$

$$\delta t = \frac{L}{2v \epsilon_r} \Delta \epsilon_r$$

$$\delta t = \frac{L}{2v \epsilon} \frac{\partial \epsilon}{\partial f} B$$



## 1) Discontinuità localizzate

Teoria di Mie

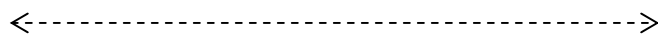
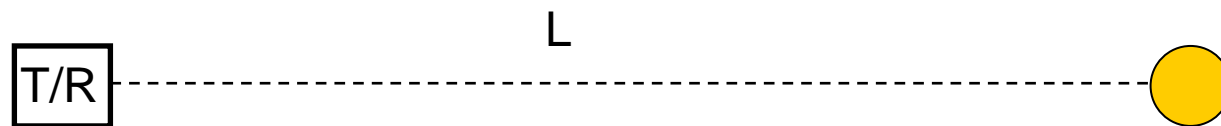
$$P_{scatt} = I\sigma_{RCS}$$

## 2) Superfici di discontinuità

Incidenza perpendicolare

$$R = \frac{\sqrt{(\epsilon_r)_2} - \sqrt{(\epsilon_r)_1}}{\sqrt{(\epsilon_r)_1} + \sqrt{(\epsilon_r)_2}}$$

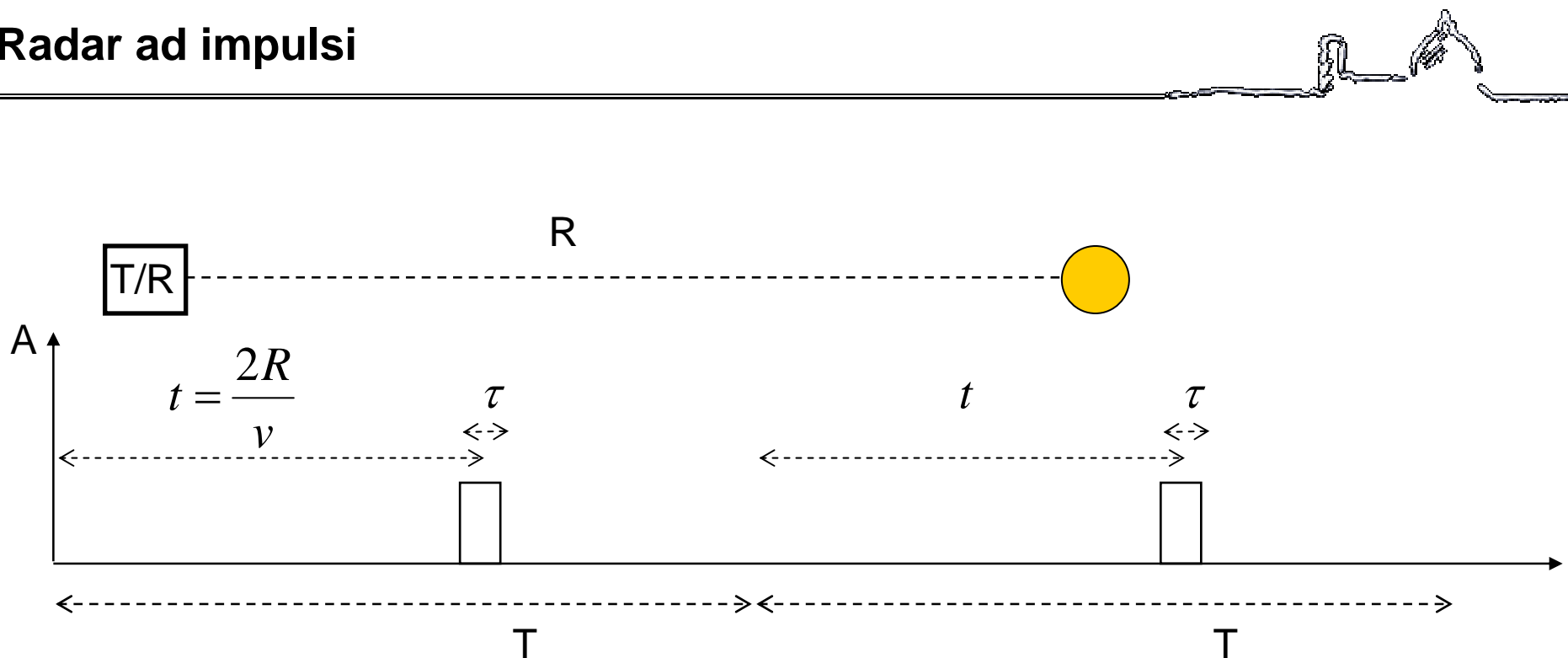
# Risposta radar



$$t = \frac{2L}{v}$$



# Radar ad impulsi



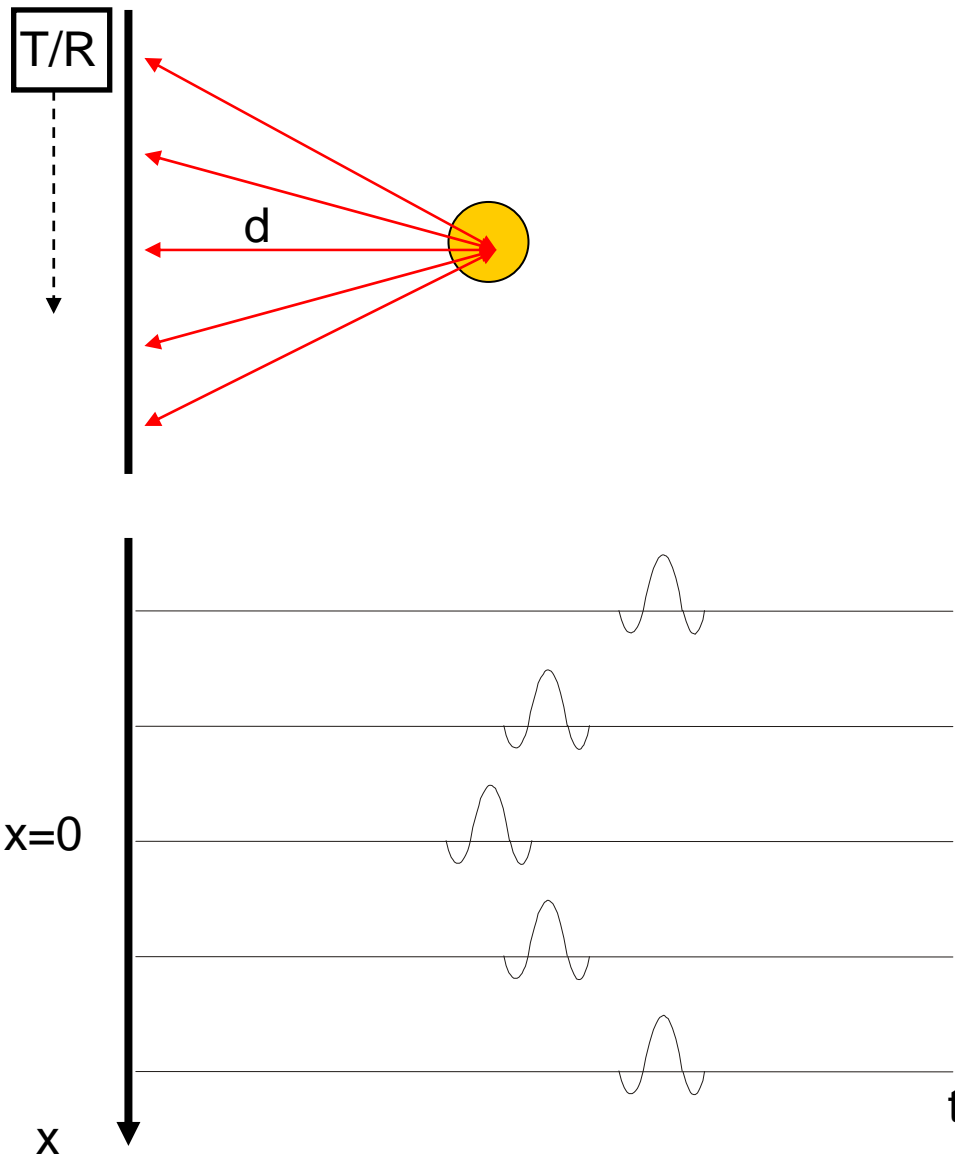
Distanza target:  $R = \frac{vt}{2}$

Risoluzione in range:  $\Delta R = \frac{v\tau}{2}$

Range non ambiguo:  $R_U = \frac{vT}{2}$

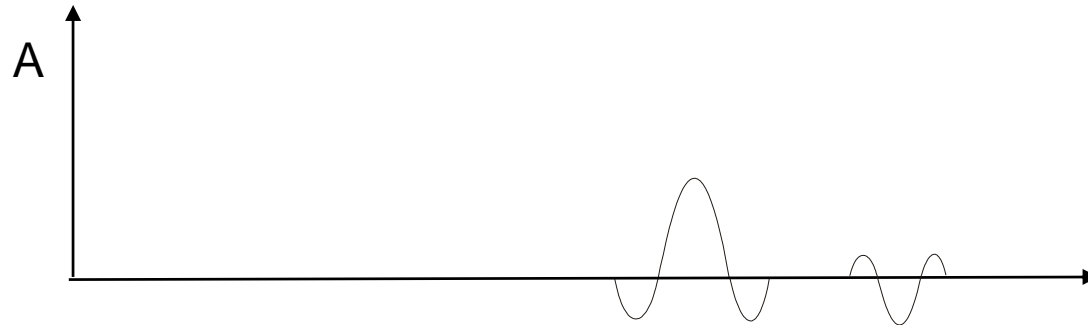
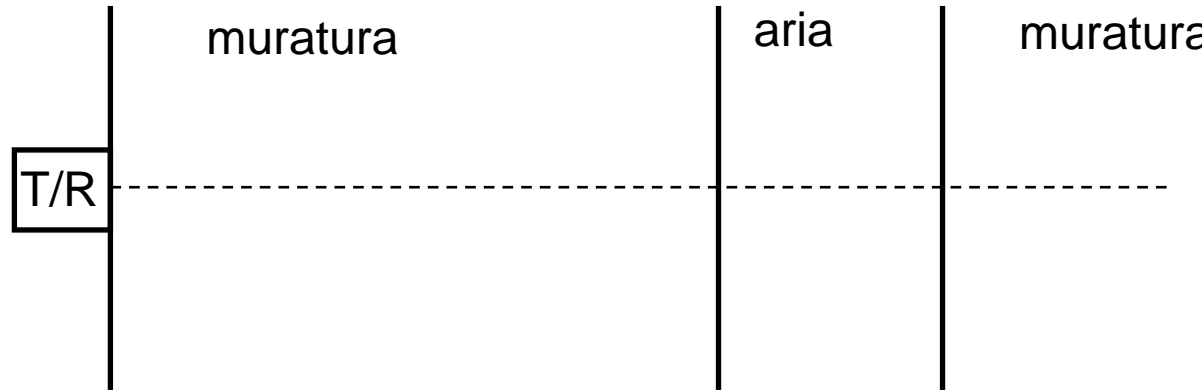
$$B = \frac{1}{\tau}$$

# Risposta radar



$$t = \frac{2\sqrt{x^2 + d^2}}{v}$$

# Polarità



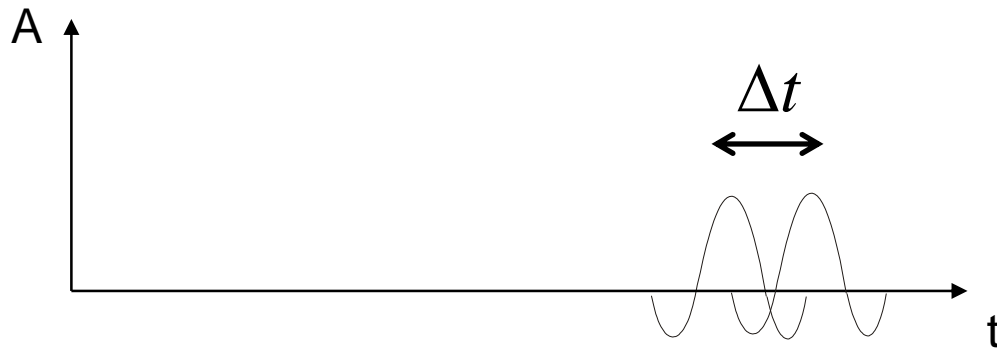
Incidenza perpendicolare

$$R = \frac{\sqrt{(\epsilon_r)_2} - \sqrt{(\epsilon_r)_1}}{\sqrt{(\epsilon_r)_1} + \sqrt{(\epsilon_r)_2}}$$

# Risoluzione in range



$$\Delta t = \frac{1}{B}$$



$$\Delta R = \frac{v}{2} \Delta t$$

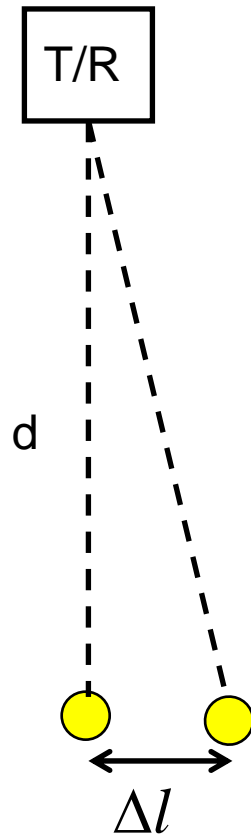
Bassa velocità di propagazione



Migliore risoluzione

$$\Delta R = \frac{v}{2B}$$

# Risoluzione laterale (cross-range)



$$t_1 = \frac{2d}{v}$$

$$t_2 = \frac{2\sqrt{d^2 + (\Delta l)^2}}{v}$$

$$\Delta t = t_2 - t_1 = \frac{2}{v} \left( \sqrt{d^2 + (\Delta l)^2} - d \right)$$

$$\approx \frac{2}{v} \left[ d \left( 1 + \frac{1}{2} \left( \frac{\Delta l}{d} \right)^2 \right) - d \right] = \frac{(\Delta l)^2}{vd}$$

$$\Delta t = \frac{1}{B} = \frac{(\Delta l)^2}{vd}$$

$$\Delta l = \sqrt{\frac{vd}{B}}$$



Risoluzione



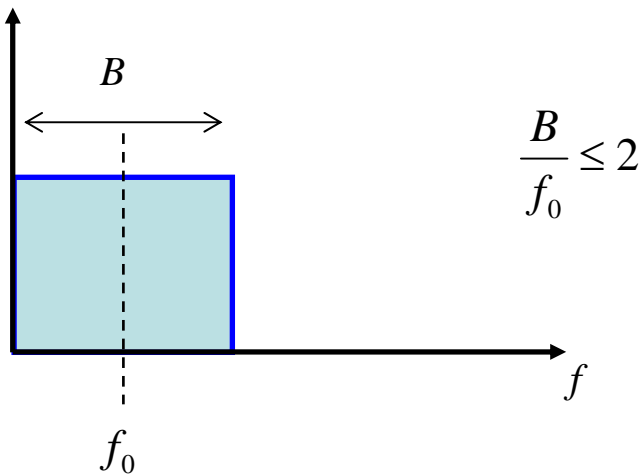
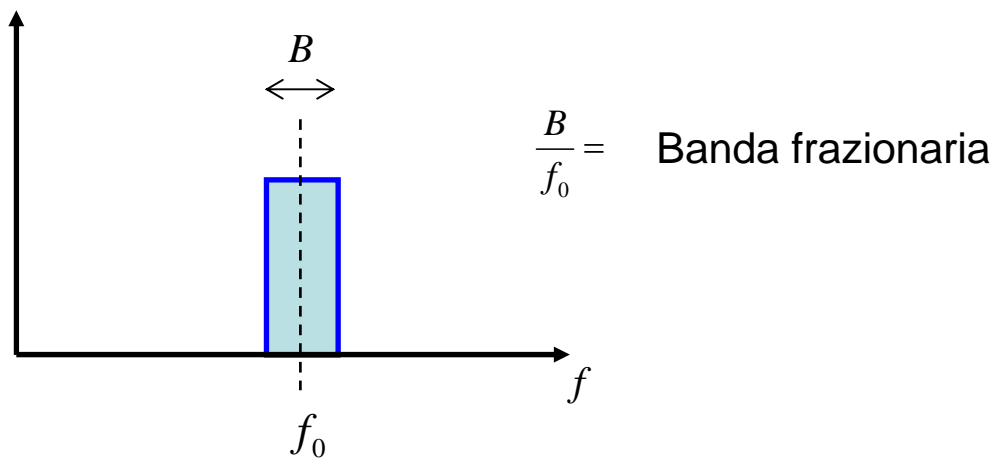
**Larga banda**

Penetrazione

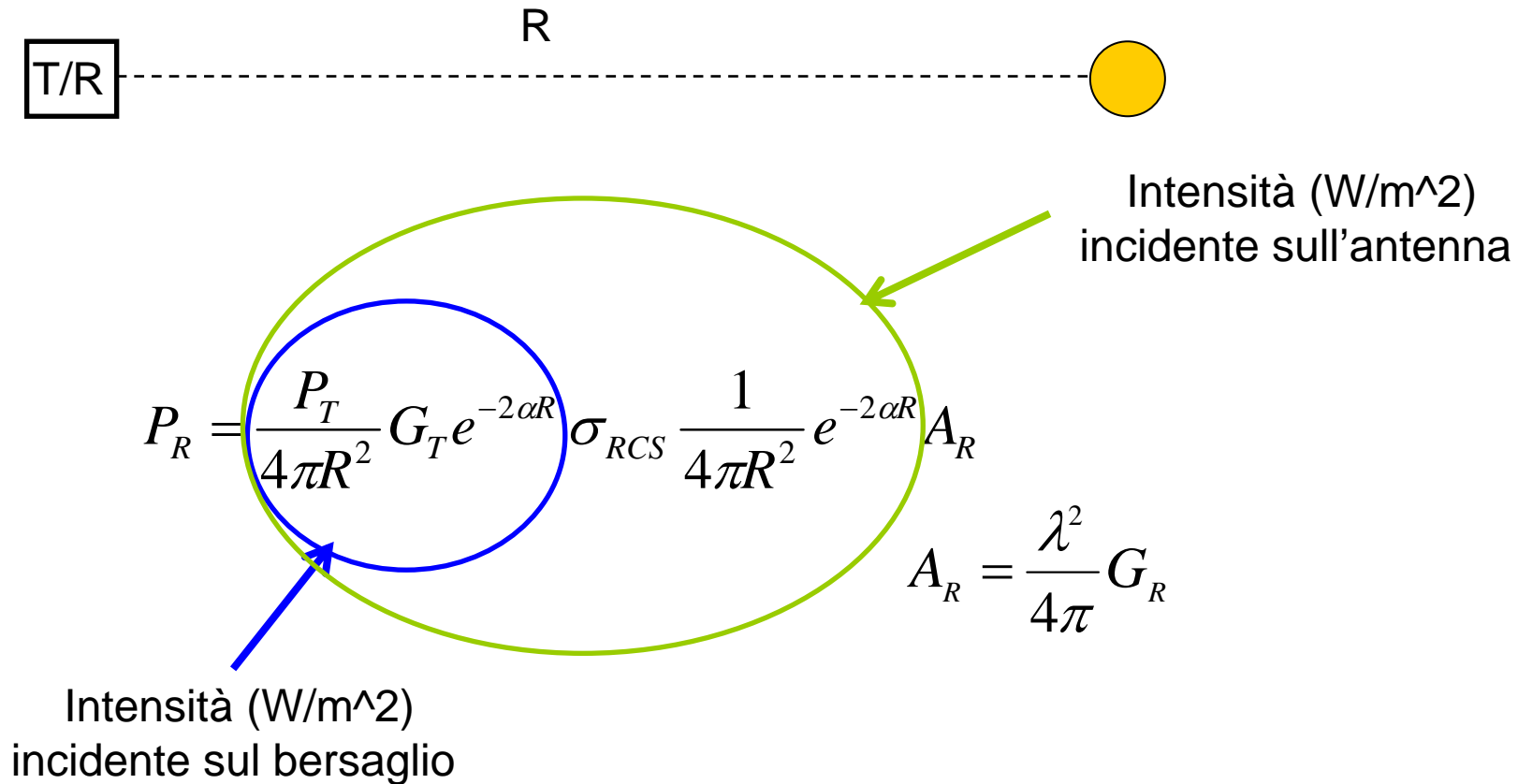


**Bassa frequenza**

# Banda frazionaria



# Equazione radar



## Equazione radar

$$P_R = P_T G_T G_R \frac{\lambda^2 \sigma_{RCS} e^{-4\alpha R}}{(4\pi)^3 R^4}$$



# Profondità di penetrazione

$$P_{R \min} = P_{T \max} G_T G_R \frac{\lambda^2 \sigma_{RCS} e^{-4\alpha R_{\max}}}{(4\pi)^3 R_{\max}^4}$$

strumentale →  $\frac{P_T}{P_R} G_T G_R = \frac{(4\pi)^3 R_{\max}^4}{\lambda^2 \sigma_{RCS}} e^{4\alpha R_{\max}}$  ambiente + target

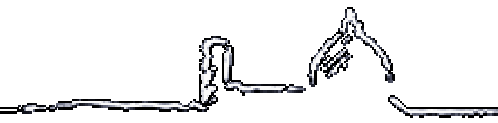
$$(SP) G_{TX} G_{RX} = L(R_{\max})$$

All'aumentare della frequenza, aumenta linearmente  $\alpha$   
quindi deve diminuire  $R_{\max}$  mantenere L costante

Esempio:  
SP=80dB  
G<sub>TX</sub>=G<sub>RX</sub>=10dB

→ L=100dB

# Profondità di penetrazione

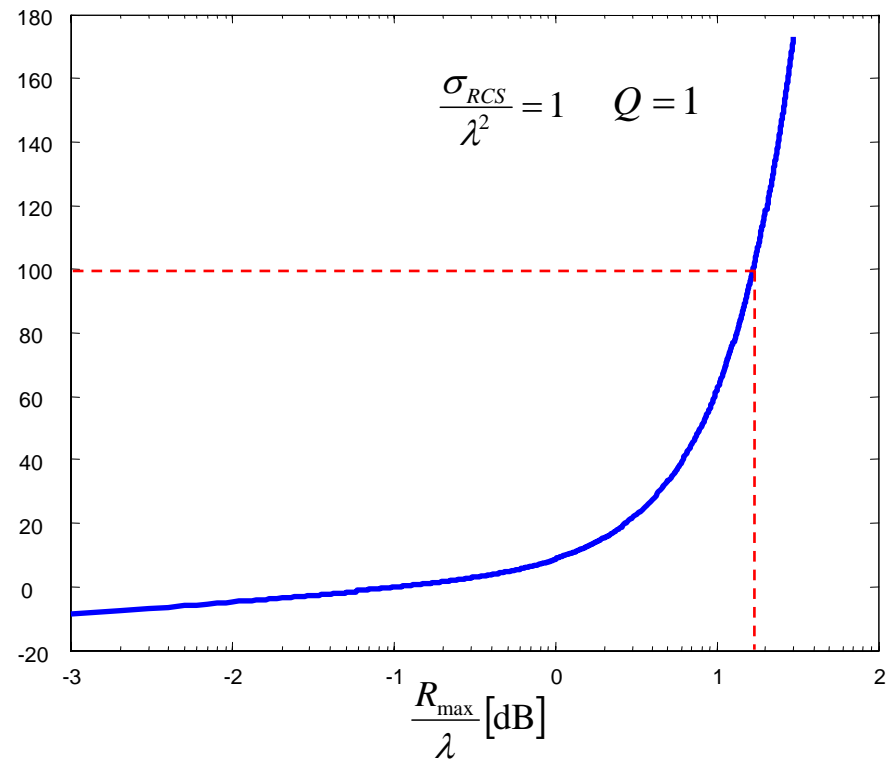


$$(SP)G_{TX}G_{RX} = L(R_{\max})$$

$$\alpha = \frac{\pi f}{Qv}$$

$$L(R_{\max}) = \frac{(4\pi)^3 R_{\max}^4}{\lambda^2 \sigma_{RCS}} e^{4\alpha R} = \frac{(4\pi)^3 \left(\frac{R_{\max}}{\lambda}\right)^4}{\left(\frac{\sigma_{RCS}}{\lambda^2}\right)} e^{4\frac{\pi}{Q}\left(\frac{R_{\max}}{\lambda}\right)}$$

$$SPG_{TX}G_{RX} = L \text{ [dB]}$$



# Risoluzione in range

$$\Delta R = \frac{v}{2B}$$

$$B = \frac{\int_0^\infty A(f) df}{A_{\max}}$$

$$A(f) = e^{-\frac{\pi f}{Qv} R} = e^{-\eta f}$$

$\eta = \frac{\pi R}{Qv}$

$$B = \frac{\int_{f_c - \frac{B_0}{2}}^{f_c + \frac{B_0}{2}} e^{-\eta f} df}{e^{-\eta f_{\min}}} = e^{\eta f_{\min}} \frac{-1}{\eta} \left[ e^{-\eta \left( f_c + \frac{B_0}{2} \right)} - e^{-\eta \left( f_c - \frac{B_0}{2} \right)} \right] = e^{\eta f_{\min}} \frac{1}{\delta} e^{-\eta f_c} \left[ e^{\eta \frac{B_0}{2}} - e^{-\eta \frac{B_0}{2}} \right]$$

$$B = e^{\eta f_{\min}} \frac{1}{\eta} e^{-\eta f_c} 2 \sinh\left(\frac{\eta B_0}{2}\right) = \frac{2}{\eta} e^{-\eta(f_c - f_{\min})} \sinh\left(\frac{\eta B_0}{2}\right) = \frac{2}{\eta} e^{-\frac{\eta B_0}{2}} \sinh\left(\frac{\eta B_0}{2}\right)$$

$$B = \frac{2}{\eta} e^{-\frac{\eta B_0}{2}} \sinh\left(\frac{\eta B_0}{2}\right) \approx \frac{2}{\eta} \left(1 - \frac{\eta B_0}{2}\right) \left(\frac{\eta B_0}{2}\right) = B_0 - \frac{\eta^2 B_0^2}{2}$$

## Risoluzione in range

$$\Delta R = \frac{v}{2B}$$

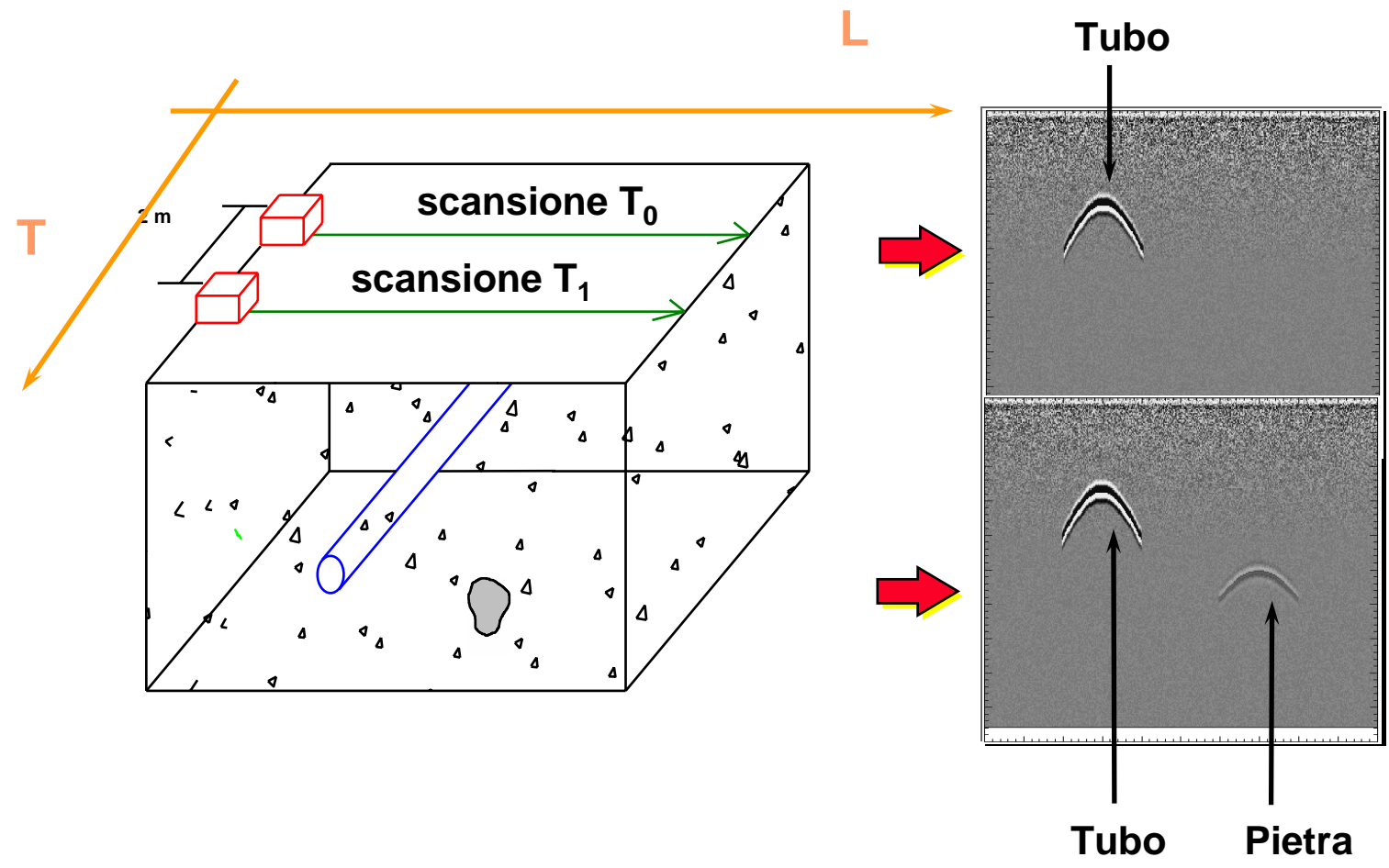
$$B = B_0 - \frac{\eta^2 B_0^2}{2} \quad \eta = \frac{\pi R}{Qv}$$

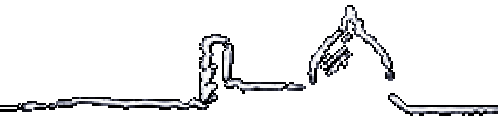
$$\Delta R = \frac{v}{2B_0} = \frac{v}{2\left(B_0 - \frac{\eta B_0^2}{2}\right)} = \frac{v}{2B_0} \frac{1}{1 - \frac{\eta B_0}{2}} = \frac{v}{2B_0} \left(1 + \frac{\eta B_0}{2}\right)$$

$$\Delta R = \Delta R_0 \left(1 + \left(\frac{\pi R}{Qv}\right) \frac{B_0}{2}\right) = \Delta R_0 + \frac{v}{2B_0} \frac{\pi R}{Qv} \frac{B_0}{2}$$

$$\Delta R = \Delta R_0 + \frac{\pi}{4} \frac{1}{Q} R$$

# Modalità operativa



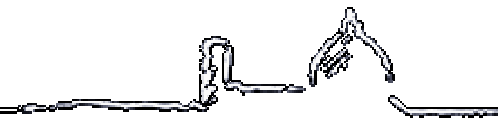


**Antenne**

**Elettronica**

**Elaborazione**

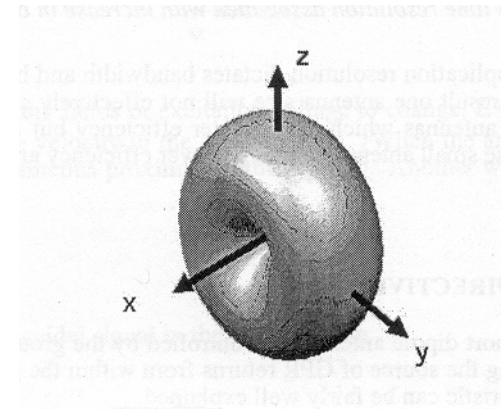
- on line
- post-processing



**Antenne**

Larga Banda  $\longleftrightarrow$  Frequenza bassa

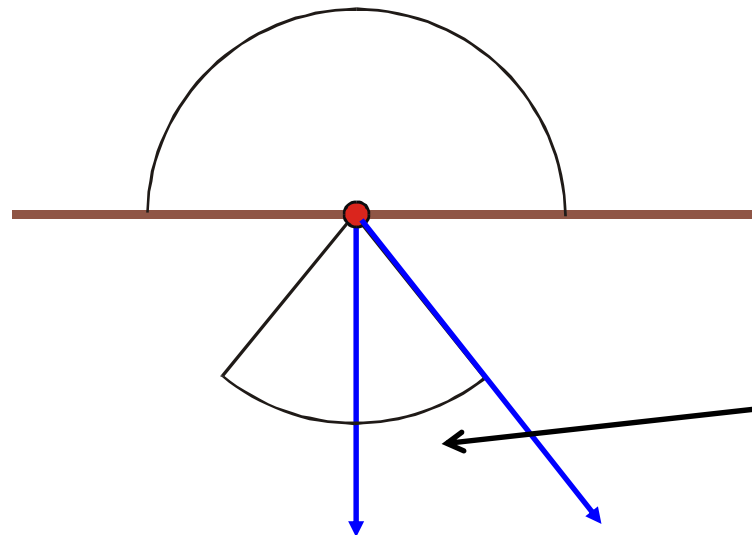
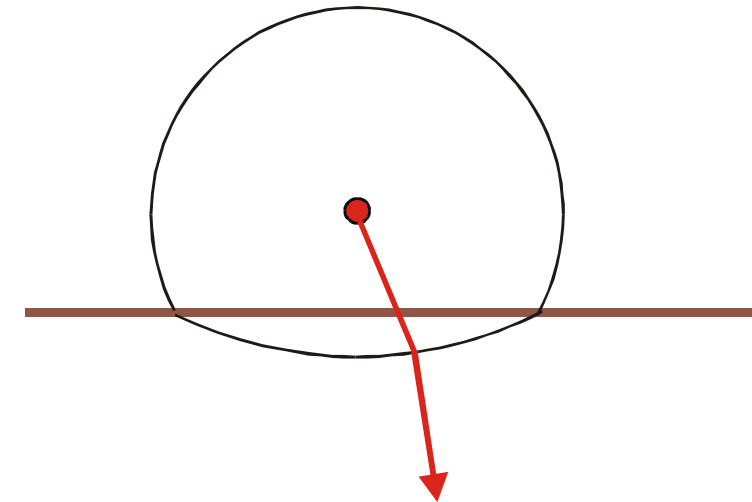
Bow-tie



Schermatura



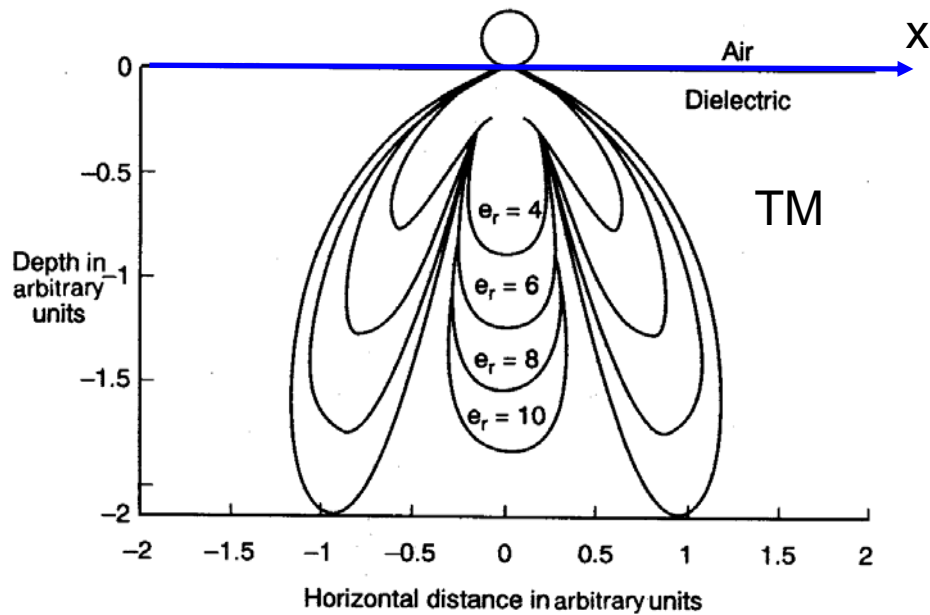
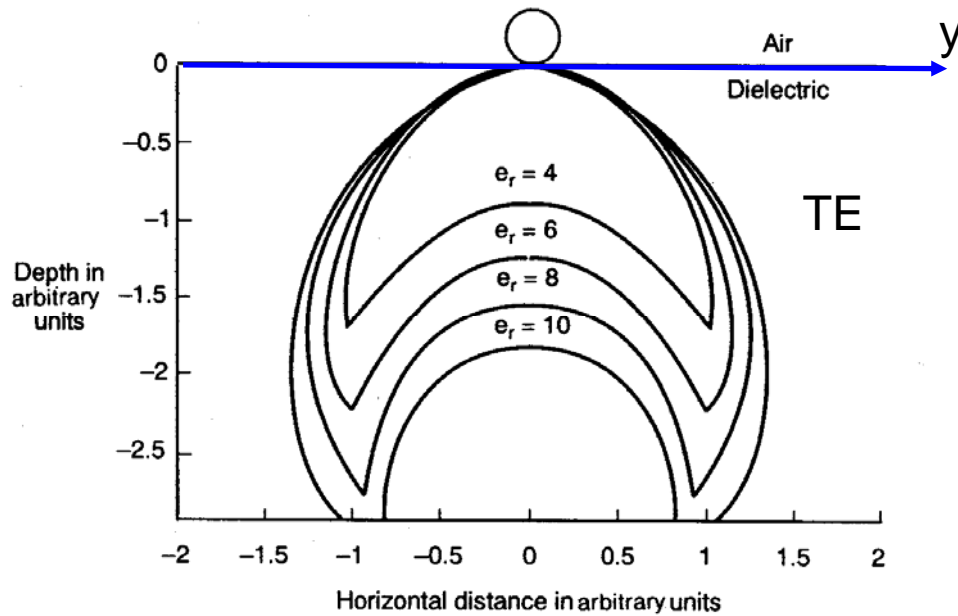
# Antenne



Angolo critico

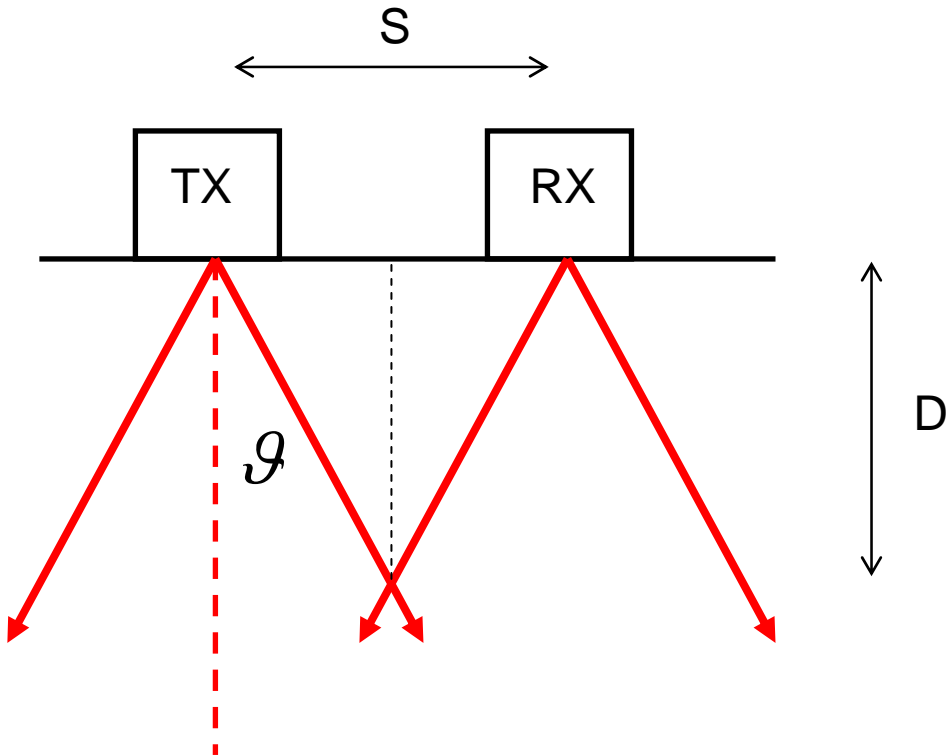


# Antenne



(x asse del dipolo)

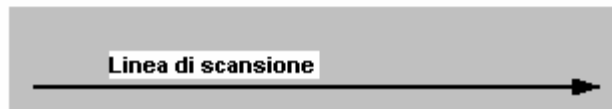
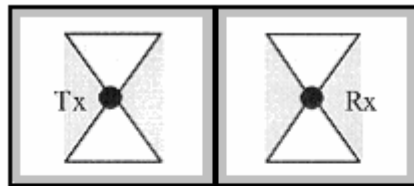
# Antenne bow-tie



$$\sin(\theta) = \frac{1}{\sqrt{\epsilon_r}}$$

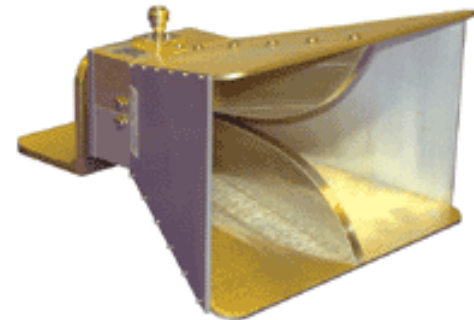
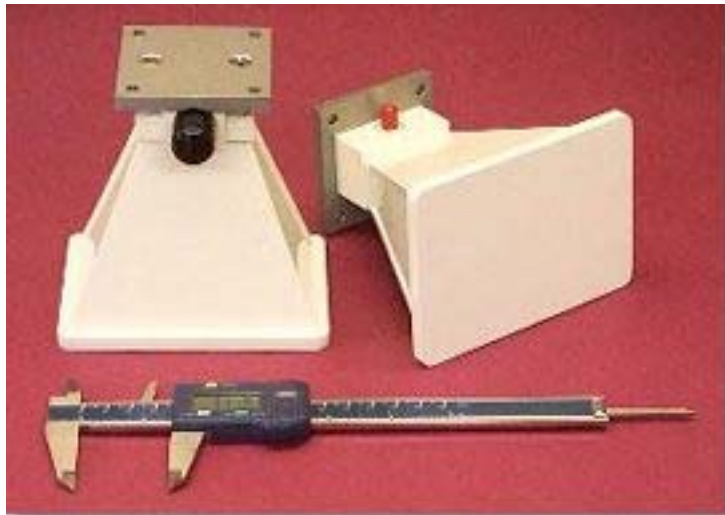
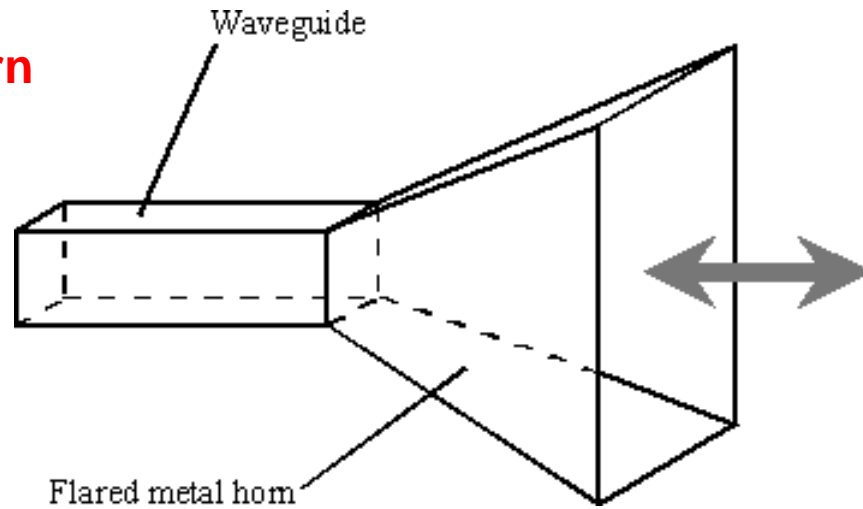
$$D = \frac{S}{2\sqrt{\epsilon_r - 1}}$$

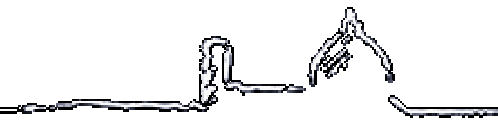
# Antenne



# Antenne

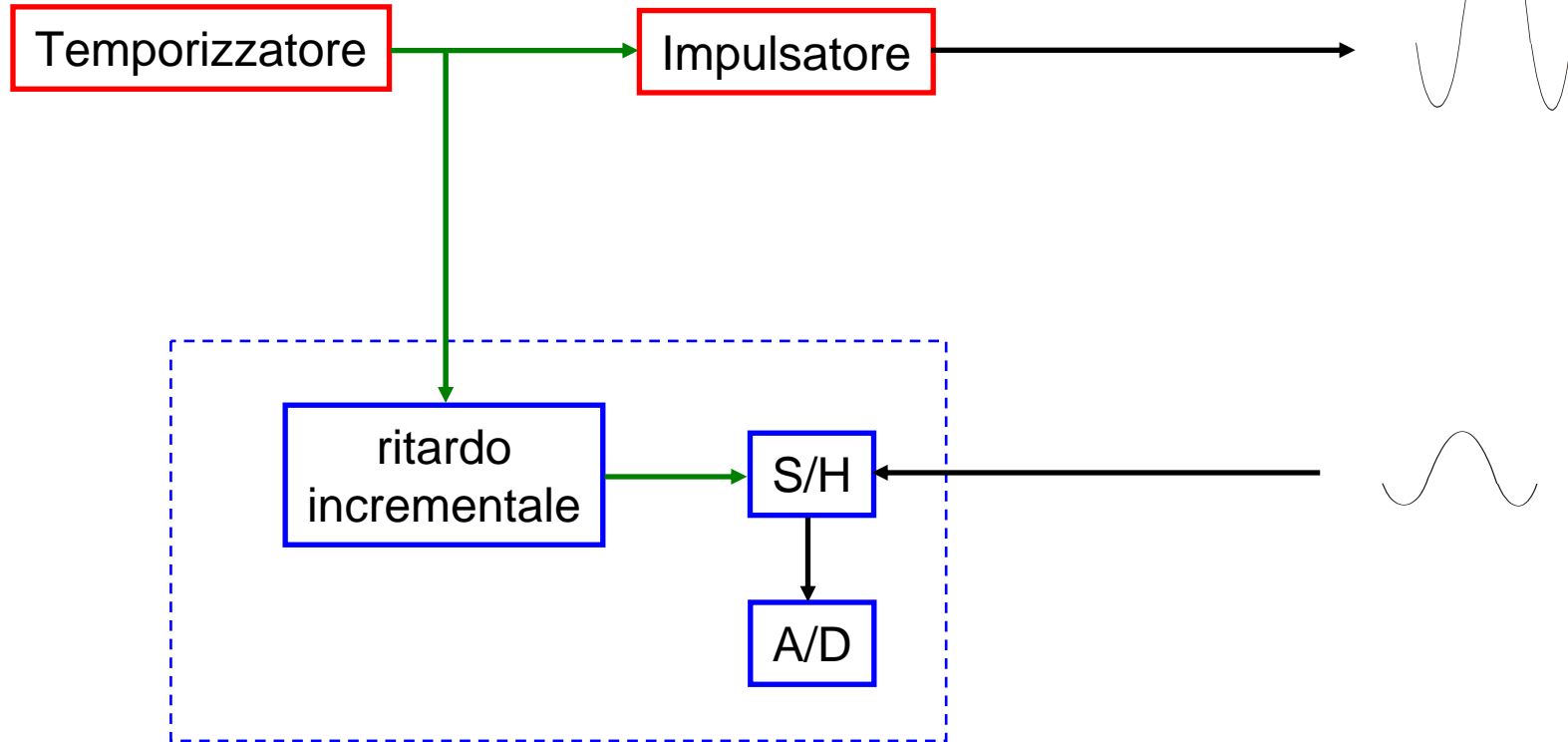
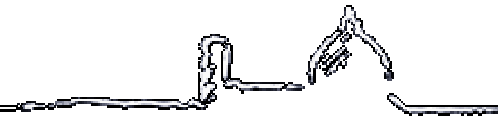
## Horn



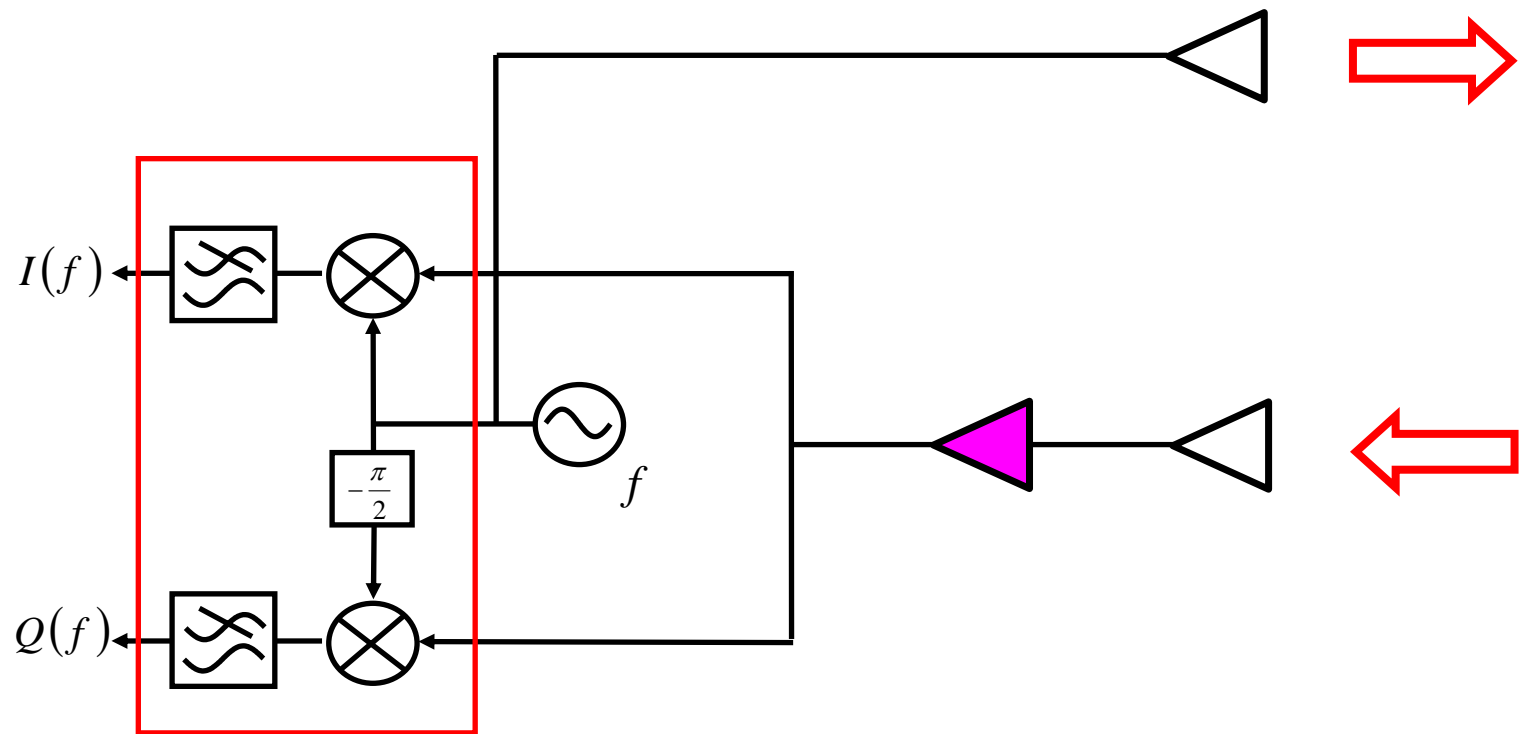


**Elettronica**

# Radar impulsati

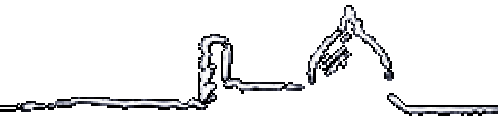


# Radar ad onda continua

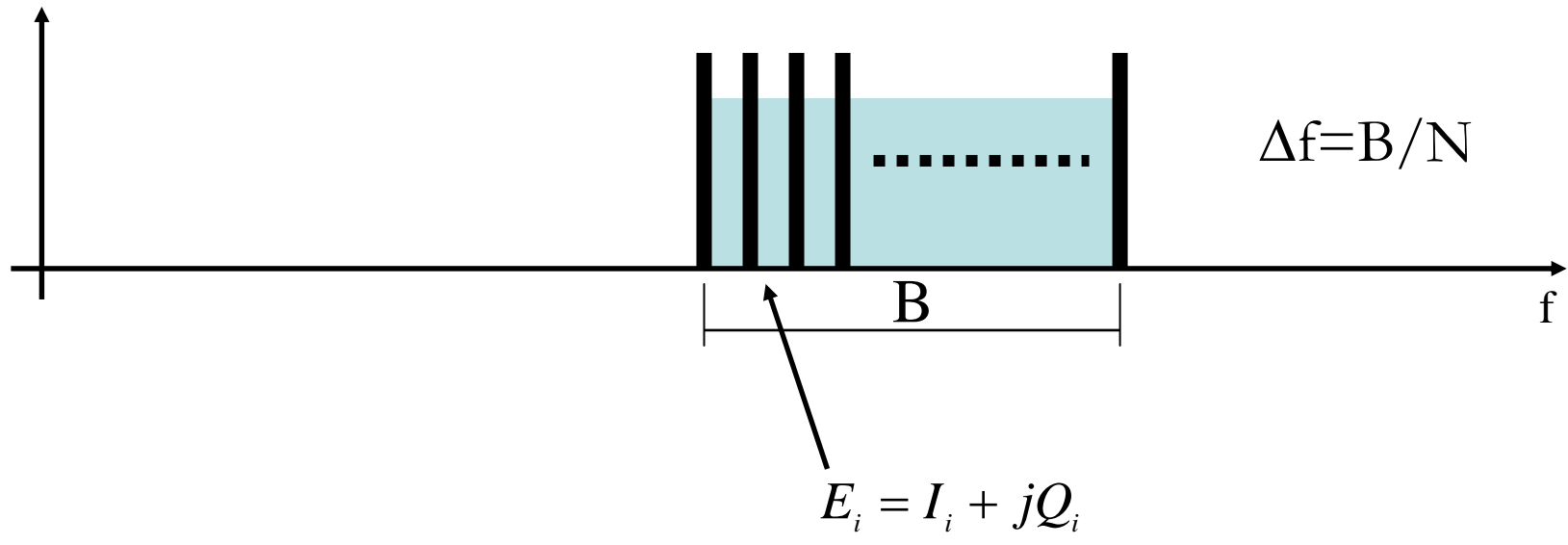
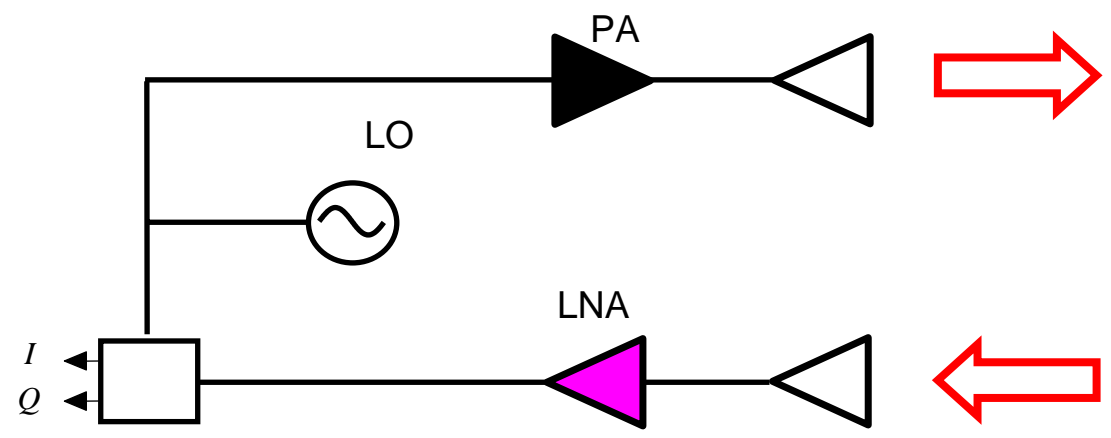




# Radar ad onda continua a passi di frequenza

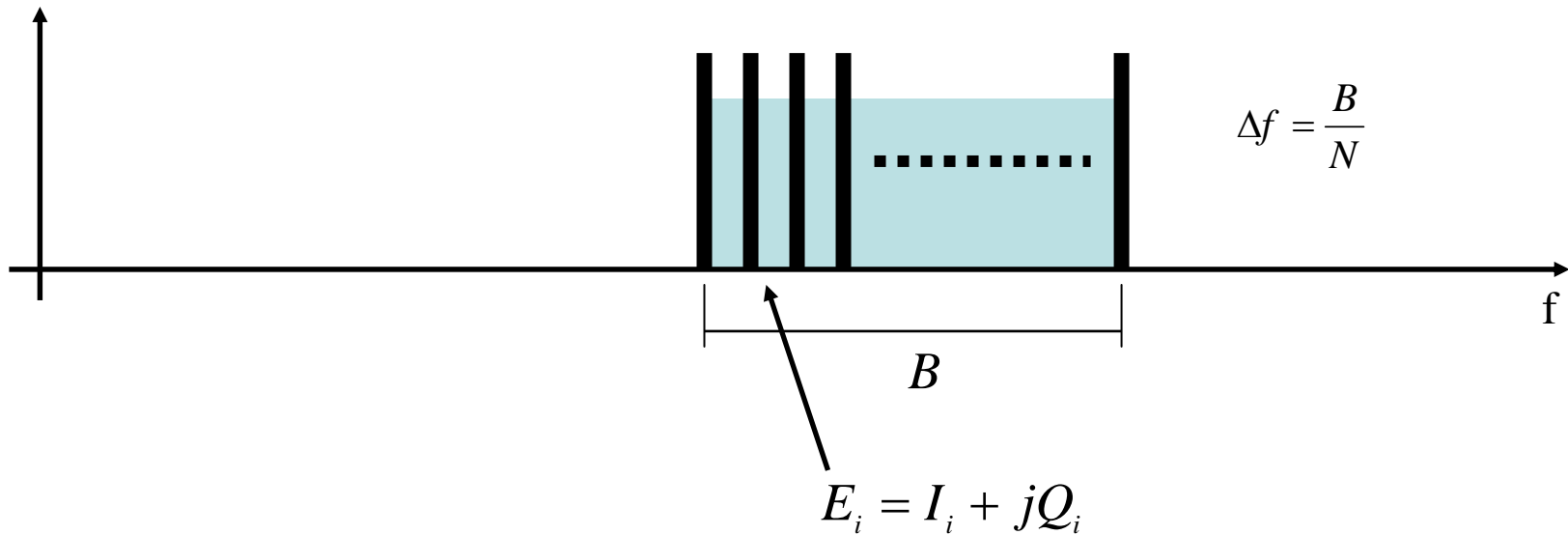


(SF-CW: Step Frequency Continuous Wave)



# Radar ad onda continua a passi di frequenza

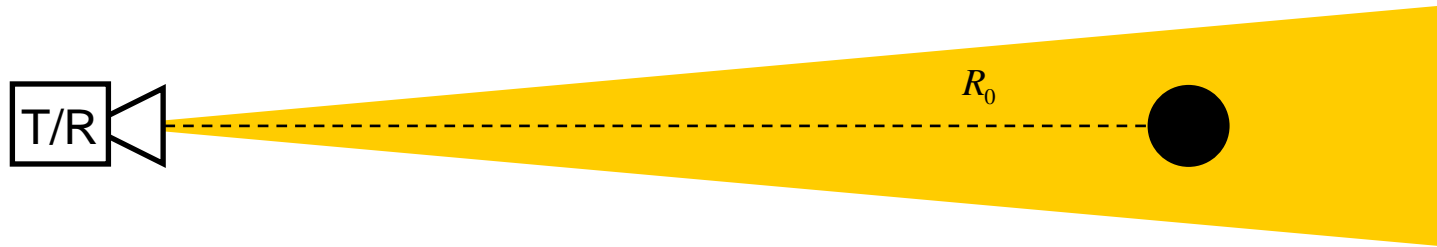
(SF-CW: Step Frequency Continuous Wave)



$$f(t) = \sum_i E_i e^{j\omega_i t}$$

Formula per la sintesi dell'impulso

# Radar ad onda continua a passi di frequenza



$$E(f) = e^{-j\frac{2\pi}{\lambda}(2R_0)}$$

$$\tilde{E}^{-1}(t) = \frac{1}{2\pi(f_2 - f_1)} \int_{f_1}^{f_2} E(f) e^{j2\pi ft} df = \frac{1}{2\pi(f_2 - f_1)} \int_{f_1}^{f_2} e^{-j\frac{2\pi}{c}f(2R_0)} e^{j2\pi ft} df =$$

$$= \frac{1}{2\pi(f_2 - f_1)} \int_{f_1}^{f_2} e^{-j2\pi f \left( \frac{2R_0}{c} \right)} e^{j2\pi ft} df = \dots = e^{j2\pi \frac{f_1 + f_2}{2} \left( \frac{2R_0}{c} \right)} \frac{\sin \left[ 2\pi \left( \frac{f_2 - f_1}{2} \right) \left( t - \frac{2R_0}{c} \right) \right]}{2\pi \left( \frac{f_2 - f_1}{2} \right) \left( t - \frac{2R_0}{c} \right)}$$

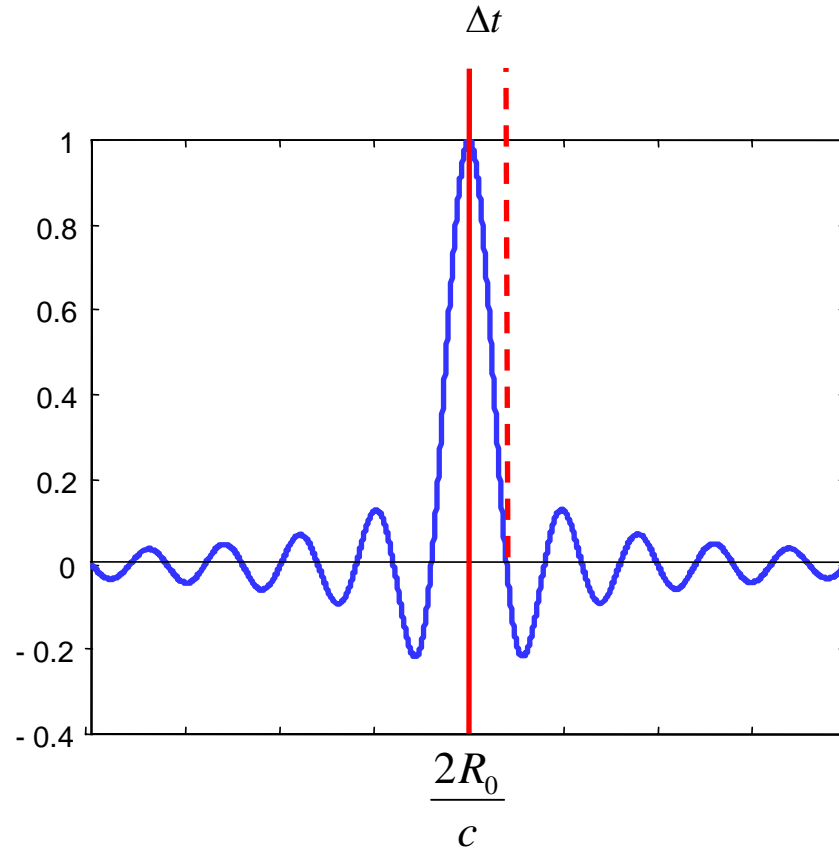
# Radar ad onda continua a passi di frequenza

$$\tilde{E}^{-1}(t) = e^{j2\pi f_c \left(\frac{2R_0}{c}\right)} \frac{\sin \left[ 2\pi \left(\frac{B}{2}\right) \left(t - \frac{2R_0}{c}\right) \right]}{2\pi \left(\frac{B}{2}\right) \left(t - \frac{2R_0}{c}\right)}$$

$$2\pi \left(\frac{B}{2}\right) \Delta t = \pi$$

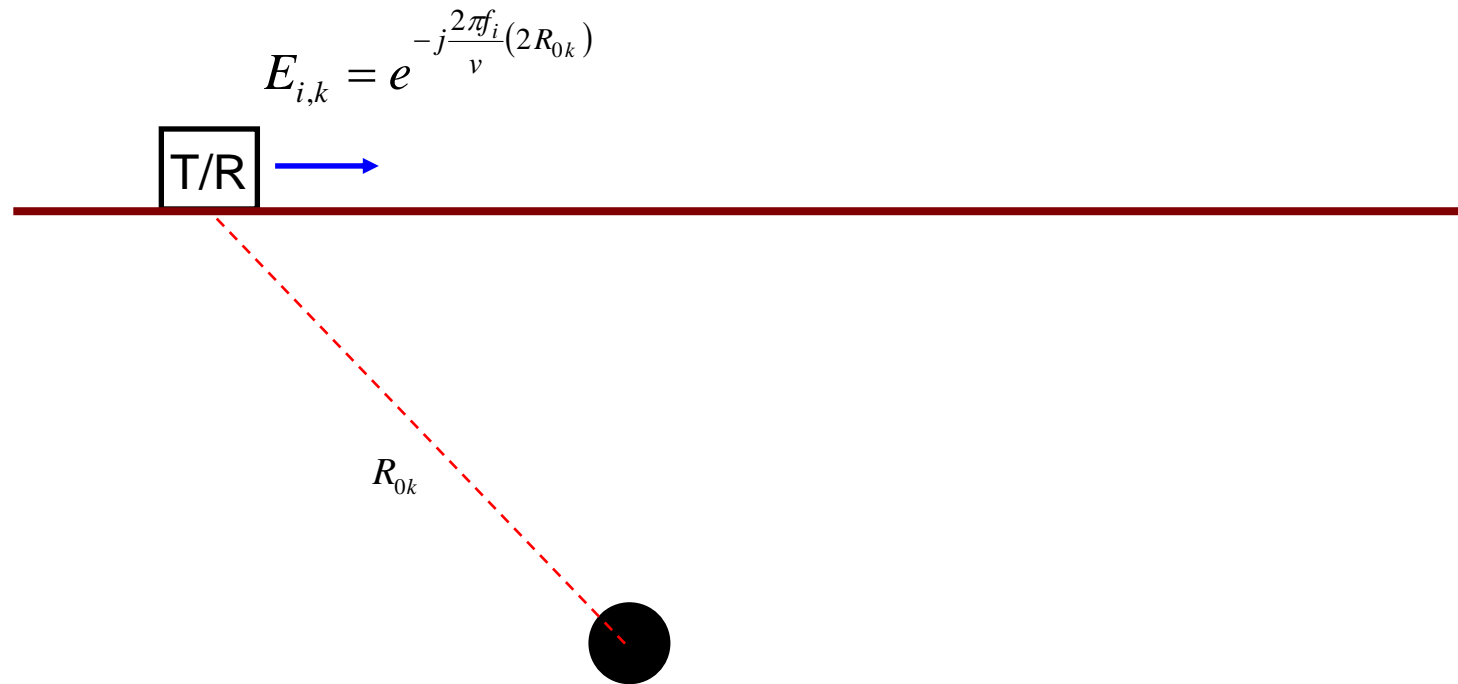
$$\Delta t = \frac{1}{B}$$

$$\Delta R = \frac{c}{2B}$$



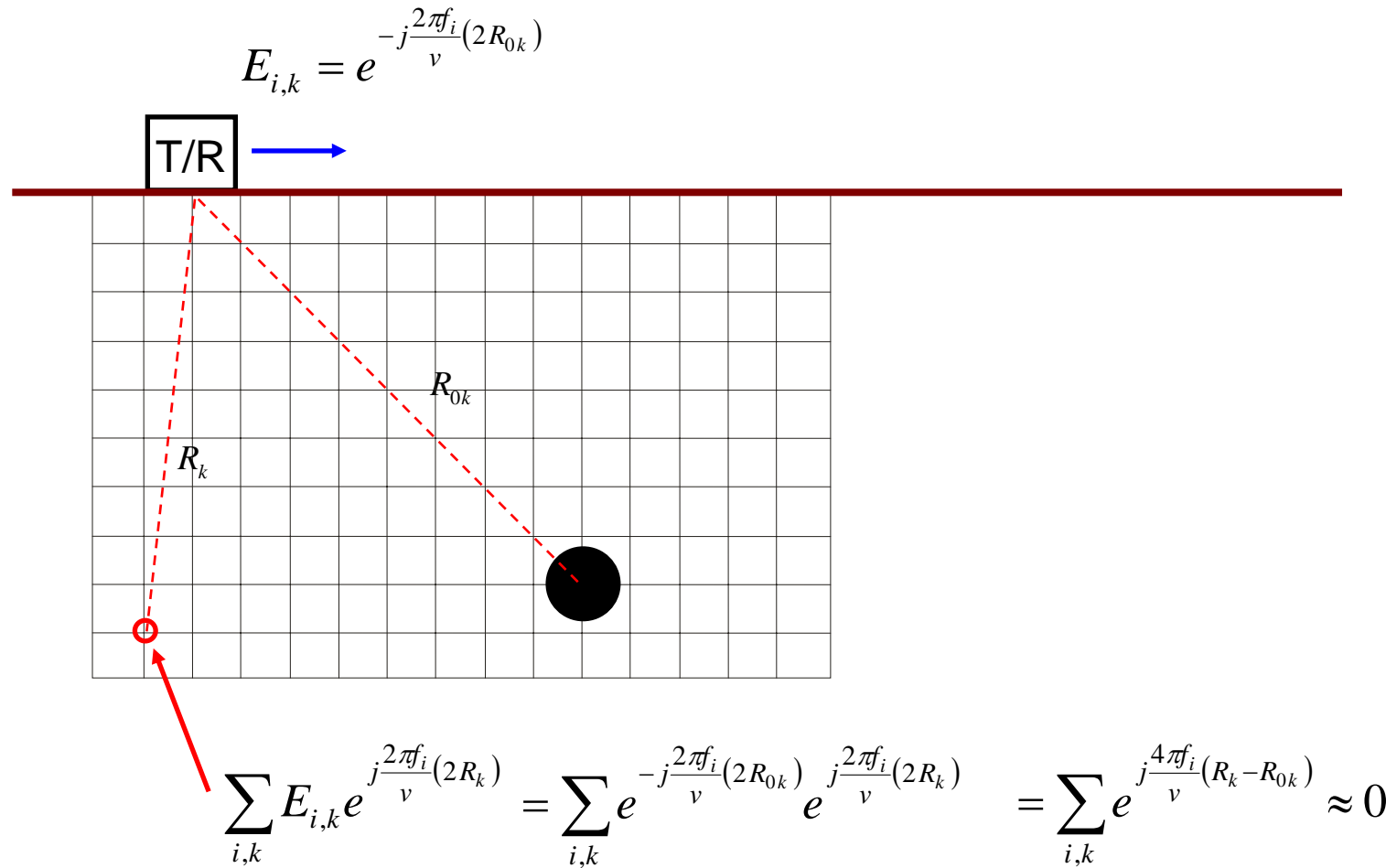
**Impulso sintetico**

## Focalizzazione

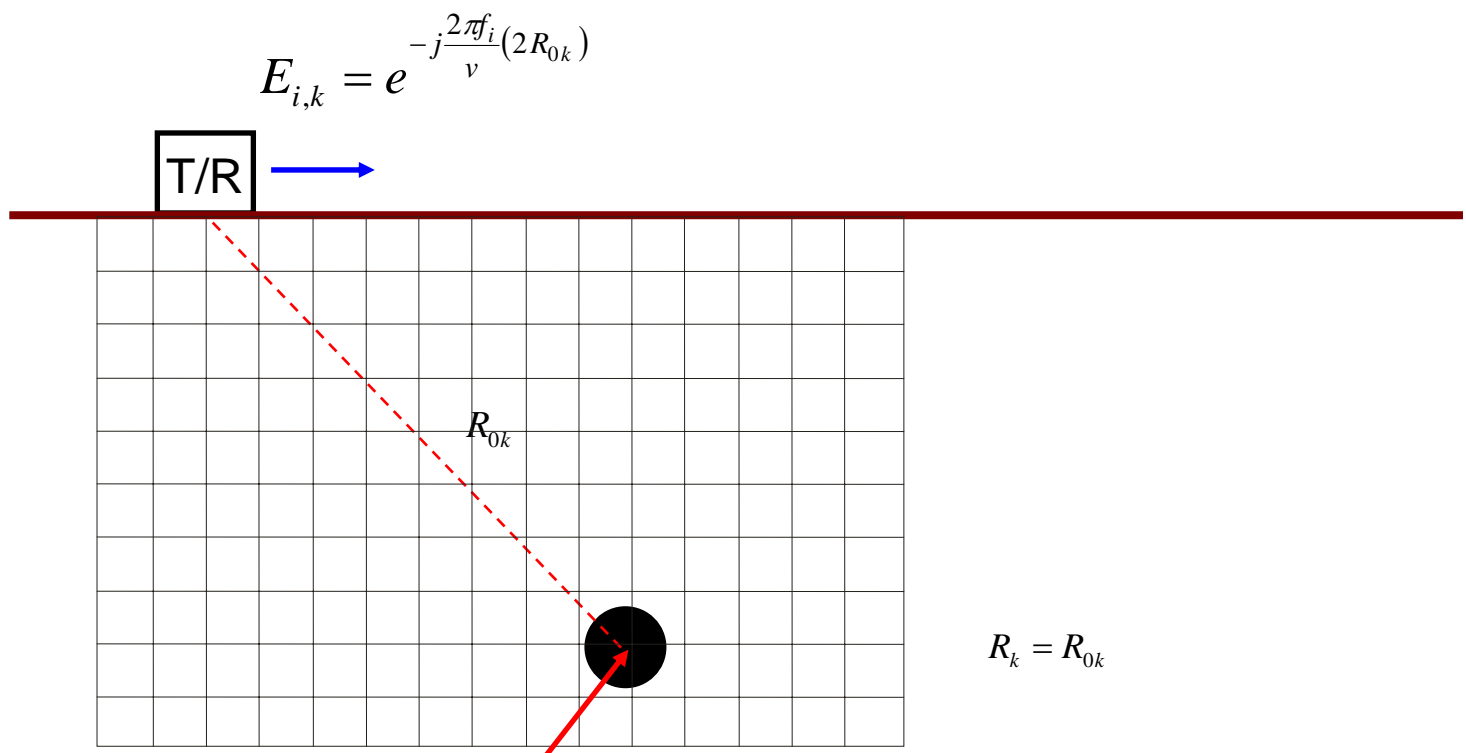
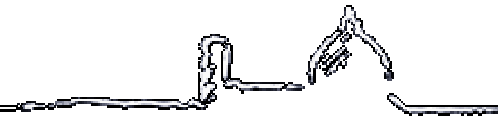


# Radar ad onda continua a passi di frequenza

## Focalizzazione



# Radar ad onda continua a passi di frequenza

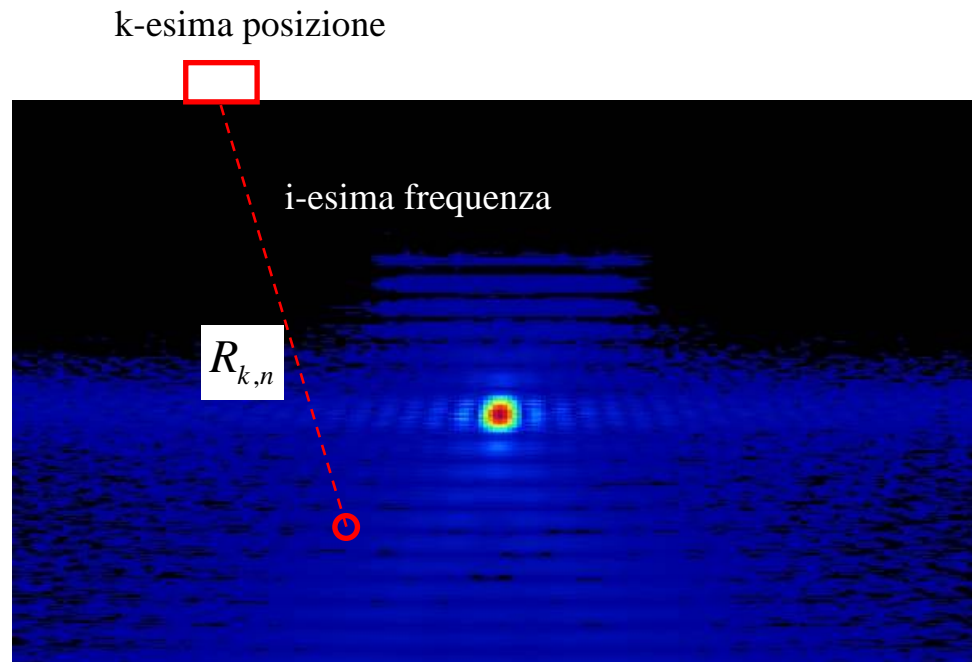


$$E_{i,k} = e^{-j\frac{2\pi f_i}{v}(2R_{0k})}$$

$$R_k = R_{0k}$$

$$\sum_{i,k} E_{i,k} e^{j\frac{2\pi f_i}{v}(2R_k)} = \sum_{i,k} e^{-j\frac{2\pi f_i}{v}(2R_{0k})} e^{j\frac{2\pi f_i}{v}(2R_k)} = \sum_{i,k} 1 = N_f N_p$$

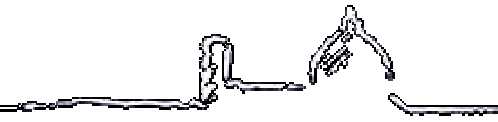
# Impulso sintetico e apertura sintetica





# Impulso sintetico e apertura sintetica

---



Diversità in frequenza  $\longrightarrow$  Risoluzione in range

Diversità spaziale  $\longrightarrow$  Risoluzione angolare (cross-range)